

新日本製鐵株式会社 正会員 関 扶樹
 京都大学防災研究所 " 山下 隆男
 " " 土屋 義人

1. 緒言 海峡や湾などのように、比較的水深が浅く狭い領域における高潮をシミュレートする場合、外力として海面に作用する風の応力の他に、海底におけるせん断応力を考慮する必要がある。一般にこれらの応力は、流速ベクトルの関数として評価されるため、流れの方向を正確に再現することが、シミュレーションの精度を向上させるうえで必須であろう。すなわち、強風に伴う吹送流の卓越する高潮現象を、いわゆる单層モデルで長波として取り扱うのではなく、流速の鉛直分布を考慮して3次元的に流況をモデル化するべきであろう。本研究ではこのような観点から、吹送流の卓越する位層とそれによるもどり流れの位層とで分割される2レベルモデルによる高潮の数値予知法を提案し、これを大阪湾へ適用して、従来用いられてきた单層モデル（1レベルモデル）との比較において、両モデルの特性を検討した結果を述べる。

2. 基礎方程式 図1に示すような座標系において、Coriolis力を考慮した非圧縮性粘性流体の運動方程式および連続式は次式で示される。

$$\partial V / \partial t + V \cdot \nabla V = -2\omega x V + \bar{F} / \rho_w \cdot \text{grad } P + \nu \Delta V \quad (1), \quad \text{div } V = 0 \quad (2)$$

ここに、 V ；速度ベクトル (U, V, W)， \bar{F} ；外カベクトル ($0, 0, -g$)， ω ；地球自転

の回転ベクトル， P ；圧力， ν ；動粘性係数， ρ_w ；海水の密度および重力加速度である。いま、吹送流の卓越する位層の厚さを h_1 とし、この奥を結ぶ面を境界とする2レベルモデルを考え、上、下位層ごとに鉛直方向に式(1), (2)を積分平均化すると、基礎方程式として次式を得る。（ X 方向のみ示す。）

$$(i) \text{上位層 } \partial M_1 / \partial t + NL_1 + (uw)_i = -f N_1 - g(h_1 + h_2) \cdot \partial S / \partial X - 1/\rho_w \cdot \partial P / \partial X + T_s / \rho_w - T_a / \rho_w + HM_1 \quad (3)$$

$$(ii) \text{下位層 } \partial M_2 / \partial t + NL_2 - (uw)_i = -f N_2 - g(h_1 + h_2) \cdot \partial S / \partial X - 1/\rho_w \cdot \partial P / \partial X + T_b / \rho_w - T_a / \rho_w + HM_2 \quad (4)$$

$$(iii) \text{連続式 } \partial S / \partial t + \partial(M_1 + M_2) / \partial X + \partial(N_1 + N_2) / \partial Y = 0 \quad (5)$$

ここに、 NL_1, NL_2 ；慣性項， $(uw)_i$ ；境界面での運動流束項， HM_1, HM_2 ；水平混合項， M, N ； X, Y 方向の質量流束， T_s, T_a, T_b ；それを海面、境界面および海底でのせん断応力である。

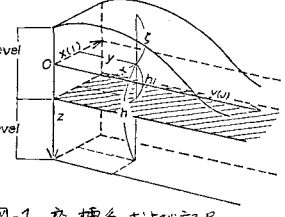
さらに、式(3)～(5)から境界面における質量および運動量の交換に関する項を除くと、1レベルモデルの基礎式となる。以上の基礎方程式において、せん断応力は次式で与えられる。（ X 方向のみ示す。）

$$T_s = \rho_w \gamma^2 W_{10x} \sqrt{W_{10x}^2 + W_{10y}^2}, \quad T_a = \rho_w \gamma^2 U_L \sqrt{U_L^2 + V_L^2}, \quad T_b = 2 \rho_w \nu C_A (U_L - U_L) / (h_1 + h_2) \quad (6)$$

ここに、 W_{10x}, W_{10y} ； X, Y 方向の海面上 $10m$ での風速， U, V ；平均流速で、サフィックス L, a は上位層、下位層のそれを示し， ν ；鉛直方向の渦動粘性係数， γ^2 ；流れに対する抵抗係数で 0.0026 ，および C_A ；境界面での抵抗係数で、ここでは、全流量がゼロの場合の等流状態の吹送流流速分布から 1.5 とする。

3. 数値モデル化 1レベルおよび2レベルモデルの基礎方程式を、差分法を用いて数値的に解くわけであるが、空間的差分化として中央差分、時間的にはアリミティフ法による explicit な差分法を用いた。なお、分割格子および変数配列を図2に、計算の経過を図3にそれぞれ模式的に示した。図中、X印はいわゆる流量束を示し、O印は水位変を示す。

4. 数値計算の方法 (i) 計算領域；江戸一東二見を西の開境界、沼島一海南を南の開境界として、大阪湾全域を含む、いわゆる大阪湾の狭領域で、座標原点は東経 $134^\circ 50'$ ，北緯 $34^\circ 04'$ に設定し、水深は海図から格子内の平均水深を読みとて与えた。(ii) 台風のモデル；藤田の式において、台風定数を以下に示すように与え、進行速度 45 km/hr の等速度で室戸台風のコースを通過させた。台風半径 200 km ，中心気圧 0.6 m (水柱



換算値), 傾度風および移動風の定数は, ともに 0.6 である。(iii) 計算条件: 空間のきざみ幅 $\Delta s = 1.5 \text{ km}$, $\Delta t = 20 \text{ sec}$, $\rho_a = 0.00129 \text{ g/cm}^3$, $\rho_w = 1.03 \text{ g/cm}^3$, $f = 8.26 \times 10^{-5} \text{ 1/sec}$, $N_r = 0.01 \text{ m}^2/\text{sec}$, $h_i = 8 \text{ m}$ および水平方向の渦動粘性係数 $\nu_H = 20.0 \text{ m}^2/\text{sec}$ 。(iv) 境界条件: 固定境界に対しては完全反射の条件を, 開境界については, 気圧低下による吸い上げ相当水位の時間的変化を与えた。(v) 初期条件: 潮汐計算は入れず, 水位, 流速とともにゼロとした。

5. 計算結果および考察 図-4および5は, 神戸, 大阪, 淡輪, 洲本に対応する水位点での両モデルの水位の時間的变化を示しているが, この図から次のようなことが考察される。

1レベルモデルの神戸および洲本にみられる水位の2ピークは, 台風の中心が湾に最も接近するのが 5hr であることから, 水位で与えた開境界条件が長波として伝播したためであると考えられる。一方, 2レベルモデルの場合には, 台風の接近に伴う湾奥方向への吹送流のために, 大阪において 4hr にすでにピークがみられ, 1レベルモデルの場合のように, 境界近くの水位点で不自然な2ピークは生じていない。図6および7は, それぞれ 4hr, 5hr での湾内の流況を示したもので, 2レベルモデルの上層の流れは風に追従して湾奥へ吹き寄せられ, 明石海峡を通して播磨灘へ流出しているが, 1レベルモデルでは流れに蛇行が生じており, 複雑な流況を呈している。

6. 結語 以上の数値計算結果から, 2レベルモデルおよび1レベルモデルの特性として次のようないくつかの結果が得られた。

(i) 2レベルモデルでは, 吹送流のように, 鉛直方向に流速の分布が形成される流れに対しても, 海水の運動に対する応答性が期待でき, このような流況を程すと考えられる高潮現象をシミュレートするためには, この種のモデルの導入が必要であろう。

(ii) 1レベルモデルでは, 開境界の条件が長波として伝播するという不都合が, モデルの特性として存在する。

なお, 本研究は文部省科学研究費, 自然災害特別研究(302027)による成果の一部であることを付記する。

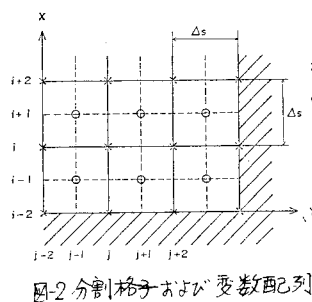


図-2 分割格子および変数配列

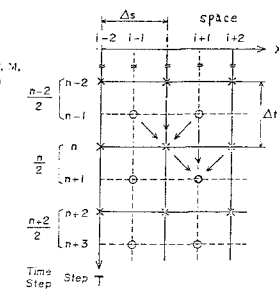


図-3 計算経過の模式図

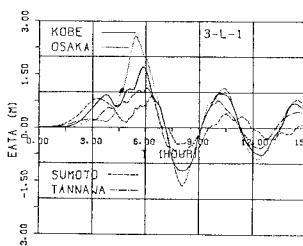


図-4 水位の時間的变化(1レベルモデル)

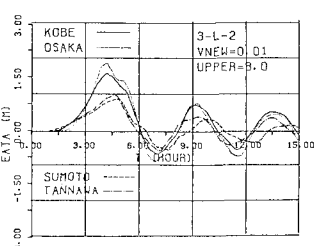


図-5 水位の時間的变化(2レベルモデル)

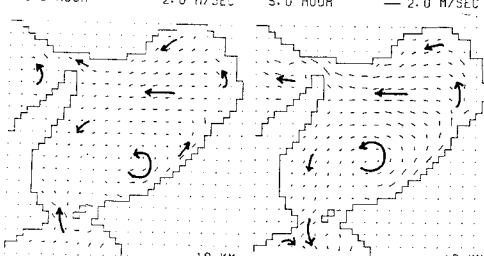
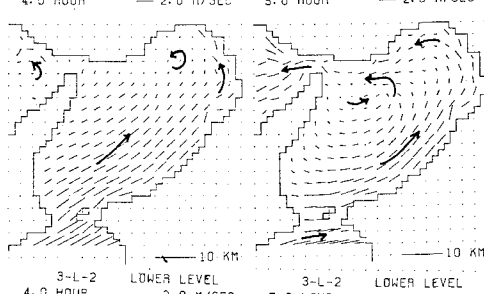
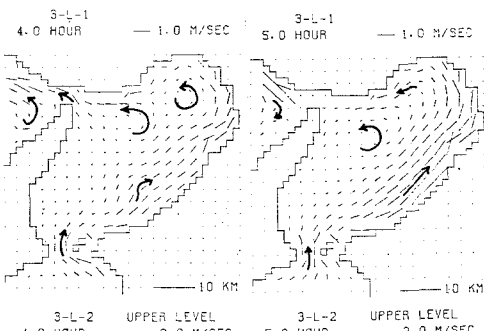


図-6 流況図(4hr) 図-7 流況図(5hr)